

Письма в редакцию

УДК 661.657.5

В. З. Туркевич*, Д. А. Стратійчук, Д. В. Туркевич

Інститут надтвердих матеріалів ім. В. М. Бакуля

НАН України, м. Київ, Україна

*vturk@ism.kiev.ua

Термодинамічний розрахунок діаграми стану системи Si–C при тисках до 8 ГПа

За допомогою моделей феноменологічної термодинаміки з параметрами взаємодії, що визначено на основі експериментальних даних із фазових рівноваг при високих тисках і температурах, розраховано ізобаричні перерізи діаграми стану системи кремній–углець при тисках до 8 ГПа.

Ключові слова: система кремній–углець, діаграма стану системи, феноменологічна термодинаміка, параметри взаємодії, енергія Гіббса, тиск.

Система кремній–углець (Si–C) привертає увагу дослідників насамперед існуванням в ній карбіду кремнію SiC, який є основним матеріалом, що використовують для високотемпературної електроніки та високопотужних вимикачів. Армування волокнами SiC композитних матеріалів на основі кубічного нітриду бору підвищує фізико-механічні властивості сіВН-різців. Діаграма стану системи Si–C при атмосферному тиску добре відома. Її новий та найбільш обґрутований варіант наведено в [1]. Зменшення температури плавлення SiC до 2750 К при тиску 8 ГПа експериментально зафіксовано в [2]. Проте діаграму стану системи Si–C під високим тиском, необхідну для розуміння процесів, які відбуваються при синтезі та застосуванні матеріалів на основі систем, що включають подвійну Si–C, дотепер не побудовано. В даній роботі шляхом термодинамічного розрахунку на основі експериментальних даних побудовано діаграму стану подвійної систем Si–C при тисках до 8 ГПа. Розрахунки виконано за допомогою програми Thermo-Calc [3].

SiC є єдиною стабільною сполукою системи Si–C. Стабільна модифікація β -SiC кристалів має структурний тип кубічного ZnS. Гексагональна модифікація α -SiC має вюрцитний тип кристалічної гратки і зазвичай розглядається як метастабільна. Розрахунок діаграми стану системи Si–C під атмосферним тиском виконано в [1], звідкіля авторами було залучено інформацію про моделі фаз й залежності вільної енергії Гіббса від температури та конце-

нтрації конкуруючих фаз (таблиця). Для опису вільної енергії Гіббса рідкої фази системи Si–C використано формалізм Редліха–Кістера. SiC розглядали як стехіометричну фазу. Значення вільної енергії алотропних модифікацій елементів взято з [4].

Параметри моделей фаз системи Si–C [1]

Параметр $A + BT + CT\ln T + DT^2 +$ $+ E/T + FT^3$, Дж/моль	A	B	C	D·10 ³	E·10 ⁻⁶	F·10 ⁶
Рідина						
${}^0L_{\text{Si,C}}^{\text{liq}}$	25645,0	-6,38115	Si			
${}^0L_{\text{Si,C}}^{\text{diam}}$	93386,8		SiC			
$G^{\text{SiC}} - \left(H_{\text{Si}}^{\text{SER}} + H_{\text{C}}^{\text{SER}} \right)$	-88584,0	271,1462	-41,2795	-4,36266	0,8	0,2

Високий тиск змінює вільну енергію Гіббса моля m на величину $\int_0^p V_m dp$,

де V_m – мольний об’єм. Залежність мольного об’єму фаз від тиску описано в наближенні Мурнагана [5]. Коефіцієнти термічного розширення, модулі все-бічного стиску для Si, SiC взято з [6], для алмазу і графіту – з [7]. Модуль стиску карбіду кремнію складає $B_0 = 223$ ГПа, його похідна по тиску $n = 4$, об’ємний коефіцієнт термічного розширення $\alpha = 3,09 \cdot 10^{-6} + 2,63 \cdot 10^{-9}T - 1,08 \cdot 10^{-12} \cdot T^2$ (K^{-1}).

Аналогічні величини:

для кремнію $B_0 = 98$ ГПа, $n = 4$, $\alpha = 2,5812 \cdot 10^{-6} + 0,0164 \cdot 10^{-6}(T - 295)$ (K^{-1});

для графіту $B_0 = 33$ ГПа, $n = 12$, $\alpha = 2,32 \cdot 10^{-5} + 5,7 \cdot 10^{-9}T$ (K^{-1});

для алмазу $B_0 = 588$ ГПа, $n = 5$, $\alpha = 2,43 \cdot 10^{-6} + 10 \cdot 10^{-9}T$ (K^{-1}).

Мольні об’єми фаз [8]: $V_{\text{SiC}} = 12,386 \cdot 10^{-6} \text{ м}^3 \cdot \text{моль}^{-1}$, $V_{\text{Si}} = 12,04 \cdot 10^{-6} \text{ м}^3 \cdot \text{моль}^{-1}$, $V_{\text{Gr}} = 5,259 \cdot 10^{-6} \text{ м}^3 \cdot \text{моль}^{-1}$, $V_{\text{D}} = 3,412 \cdot 10^{-6} \text{ м}^3 \cdot \text{моль}^{-1}$.

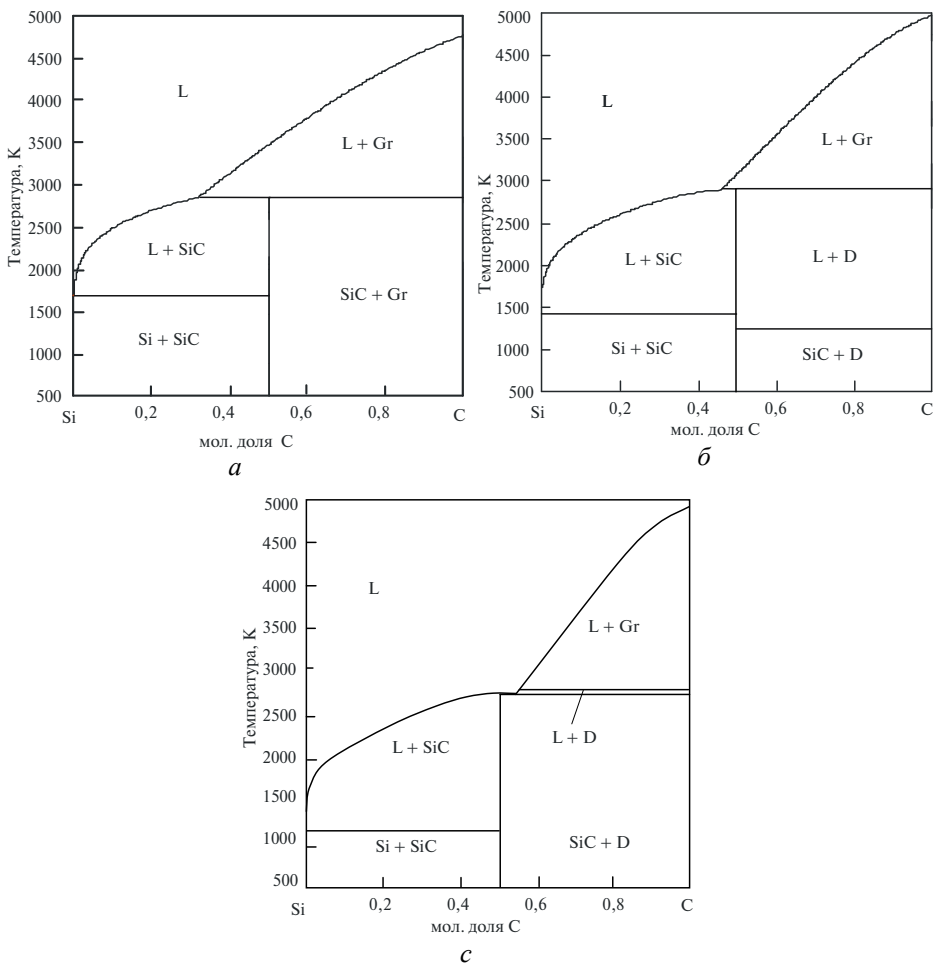
Мольний об’єм рідкої фази представлено у вигляді

$$V_m^{\text{L}} = V_{\text{Si}}^{\text{L}} x_{\text{Si}} + V_{\text{C}}^{\text{L}} x_{\text{C}} + x_{\text{Si}} x_{\text{C}} [\Delta V_0 + \Delta V_1 (x_{\text{Si}} - x_{\text{C}})],$$

де $\Delta V_0 = -1,2 \cdot 10^{-5} \text{ м}^3 / \text{моль}$, $\Delta V_1 = -5,0 \cdot 10^{-6} \text{ м}^3 / \text{моль}$ – параметри моделі, що описує об’єм змішування в рідкій фазі, знайдені шляхом оптимізації термодинамічних даних по експериментально встановленій баричній залежності температури плавлення SiC [2]. Враховано, що під тиском температура плавлення SiC знижується зі швидкістю $44 \text{ К} \cdot \text{ГПа}^{-1}$, а при 8 ГПа SiC плавиться конгруентно.

Еволюцію діаграми стану системи Si–C під тиском представлено на рисунку.

Високі тиски викликають збільшення розчинності вуглецю в рідкій фазі системи Si–C, приводять до стабілізації алмазної фази і сприяють зміні топології діаграми стану. При тиску 8 ГПа перитектична рівновага $\text{L} + \text{C} \rightleftharpoons \text{SiC}$ змінюється на евтектичну рівновагу $\text{L} \rightleftharpoons \text{SiC} + \text{C}$, а інконгруентне плавлення SiC – на конгруентне. Таку зміну в [2] спостерігали при тисках 6–8 ГПа.



Діаграма стану системи Si–C під тиском 0,1 (а), 4 (б), 8 (с) ГПа: L – рідка фаза; Gr – графіт; D – алмаз.

Using models of phenomenological thermodynamics with interaction parameters derived from experimental data on phase equilibria at high pressures and high temperatures, the isobaric sections of the silicon–carbon phase diagram have been calculated at pressures up to 8 GPa.

Keywords: silicon–carbon system, phase diagram of the system, phenomenological thermodynamics, parameters of interaction, Gibbs free energy, pressure.

С помощью моделей феноменологической термодинамики с параметрами взаимодействия, которые определены на основе экспериментальных данных из фазовых равновесий при высоких давлениях и температурах, рассчитаны изобарические сечения диаграммы состояния системы кремний–углерод при давлениях до 8 ГПа.

Ключевые слова: система кремний–углерод, диаграмма состояния системы, феноменологическая термодинамика, параметры взаимодействия, энергия Гиббса, давление.

1. Gröbner J., Lukas H. L., Aldinger F. Thermodynamic calculation of the ternary system Al–Si–C // Calphad. – 1996. – **20**, N 2. – P. 247–254.
2. Sokolov P. S., Mukhanov V. A., Chauveau T., Solozhenko V. L. On melting of silicon carbide under pressure // J. Superhard Materials. – 2012. – **34**, N 5. – P. 339–341.

3. Andersson J.-O., Helander T., Höglund L. et al. Thermo-Calc & DICTRA, computational tools for materials science // *Calphad*. – 2002. – **26**, N 2. – P. 273–312.
4. Dinsdale A. T. SGTE data for pure elements // *Ibid*. – 1991. – **15**, N 4. – P. 317–425.
5. Murnaghan F. D. The compressibility of media under extreme pressures // Proc. National Acad. Sci. USA. – 1944. – **30**, N 9. – P. 244–247.
6. Landoldt-Börnstein – Group III: Condensed Matter / Eds. O. Madelung, V. Rössler, M. Schulz. – Springer Materials, 2001. – Vol. 41A1a. – <http://materials.springer.com/bookshelf>
7. Gustafson P. An evaluation of the thermodynamic properties and the p , T phase diagram of carbon // *Carbon* – 1986. – **24**, N 2. – P. 169–176.
8. JCPDS-JCDD (Joint Committee on Powder Diffraction Standards-International Centre for Diffraction Data). – PDF-2 Database, 1997.

Надійшов 21.12.15